

Широкополосная лазерная оптическая накачка Rb для создания ядерной поляризации в ${}^3\text{He}$

Н.Н.Колачевский*, А.А.Папченко*, Ю.В.Прокофьев, В.Р.Скай**, И.И.Собельман*,
В.Н.Сорокин***

С помощью мощной лазерной диодной системы осуществлена оптическая накачка плотных (10^{15} см^{-3}) паров Rb в большом объеме (30 см^3). Рассмотрены условия распространения мощного широкополосного излучения оптической накачки через оптически-плотную среду. Разработан спектроскопический метод определения поляризации Rb. Исследована зависимость поляризации Rb от давления его паров при давлениях буферного газа 1, 8 и 13 атм. Показано, что в процессе столкновений атомов Rb и ${}^3\text{He}$ при оптимальных условиях 15-ваттный диодный лазер позволяет поляризовать не менее 10^{18} атомов ${}^3\text{He}$ в секунду, что является достаточным для создания эффективного поляризатора нейтронов.

Ключевые слова: мощный диодный лазер, поляризованный ${}^3\text{He}$.

Введение

Спин-поляризованные ядра имеют широкую потенциальную область применений в фундаментальной физике. Исследования в этой области ведутся в течение длительного времени [1], причем особый интерес представляют спин-поляризованные ядра инертных газов (${}^3\text{He}$, ${}^{129}\text{Xe}$ и ${}^{131}\text{Xe}$), для которых можно обеспечить условия, когда время продольной релаксации достигает нескольких часов. Этот факт позволяет создавать высокую ядерную поляризацию путем ее накопления за длительное время. Спин-поляризованные газы при высоком давлении используются в экспериментах с поляризованными нейтронами [2], электронами и ионами [3], а также в медицине при томографическом исследовании вентиляции легких [4].

Мы планируем использовать мишень из поляризованного ${}^3\text{He}$ в качестве поляризатора пучка тепловых нейтронов в экспериментах с поляризованным ${}^{131}\text{Xe}$ по проверке Т-инвариантности (проект KaTRIn) [5]. Сечение σ реакции нейтрона с ${}^3\text{He}$ с образованием трития составляет $\sim 10^{-24} \text{ см}^2$, если поляризации нейтрона и ${}^3\text{He}$ параллельны, и $\sim 10^{-21} \text{ см}^2$, когда они антипараллельны. Это означает, что для эффективной поляризации нейтронного пучка необходима поляризованная мишень с давлением ${}^3\text{He}$ примерно 10 атм и длиной несколько сантиметров, что для реальных размеров нейтронных пучков соответствует примерно 1 л газа, поляризованного на 50 % при нормальных условиях.

Технология создания ядерной поляризации в ${}^3\text{He}$ хорошо изучена и может быть подразделена на три основных направления: 1) непосредственная оптическая ориентация атомов ${}^3\text{He}$ в метастабильном состоянии [6], 2) столкновительная передача поляризации электронного спина от оптически поляризованного щелочного атома

ядру ${}^3\text{He}$ [7] и 3) поляризация в сильных магнитных полях при низких температурах [8]. Атом Rb, для которого константа скорости передачи поляризации электронного спина поляризации ядерного спина ${}^3\text{He}$ есть $\langle \sigma_{\text{RbHe}} v \rangle = 1.2 \cdot 10^{-19} \text{ см}^3/\text{с}$, широко используется в поляризации ядер благородных газов. Для достижения высокой ядерной поляризации ($P_{\text{He}} \sim 1$) необходимо, чтобы характеристическое время передачи поляризации гелию $\tau_{\text{RbHe}} = (\langle \sigma_{\text{RbHe}} v \rangle [\text{Rb}])^{-1}$ было значительно меньше времени распада поляризации ядерного спина ${}^3\text{He}$, составляющего, по экспериментальным данным, $10 - 40$ ч для кювет из алюминиосиликатных стекол. Для концентраций паров рубидия $[\text{Rb}] = 10^{15} \text{ см}^{-3}$ это условие выполняется ($\tau_{\text{RbHe}} = 3$ ч).

Поскольку высокая ядерная поляризация P_{He} достижима при средней электронной поляризации \bar{P}_{Rb} , близкой к единице, необходимо мощное поляризующее излучение (накачка), соответствующее резонансному переходу в атоме Rb. В качестве источника оптической накачки используются лазеры на сапфире, активированном титаном [2], лазеры на красителях [9], а также полупроводниковые лазеры [7], настроенные на резонансную линию D1 рубидия (795 нм). Характерная ширина спектра излучения подобных лазеров составляет несколько гигагерц, и она обычно меньше ширины ударно-уширенной линии Rb.

Проведенные в [7] оценки показывают, что для достижения высоких \bar{P}_{Rb} необходимо располагать лазерной накачкой, обеспечивающей поглощение паров рубидия $0.2 \text{ Вт}/\text{см}^3$ при концентрациях $[\text{Rb}] = 10^{15} \text{ см}^{-3}$. В настоящее время стали доступны мощные полупроводниковые лазерные системы, представляющие собой сборки подобранных лазерных диодов с суммарной мощностью до 30 Вт в спектральном интервале шириной около 3 нм (Opto Power Corp., 3321 E.Global Loop, Tucson, AZ85706). В отличие от систем на Ti:сапфире, подобные лазерные сборки не нуждаются в дорогостоящей системе накачки, надежны, стабильны и имеют высокий КПД. Однако при такой ширине спектра излучения можно ожидать, что эффективность накачки и \bar{P}_{Rb} будут существенно зависеть от условий поглощения.

На базе диодной лазерной сборки нами создана экс-

*Физический институт им. П.Н.Лебедева РАН, Россия, 117924 Москва, Ленинский просп., 53

**Объединенный институт ядерных исследований, Лаборатория нейтронной физики им. И.М.Франка, Россия, 141980 Дубна Моск. обл.

Поступила в редакцию 21 июня 1999 г.

периментальная установка для получения высокой электронной поляризации ($\bar{P}_{\text{Rb}} = 0.8 - 0.9$) плотных паров рубидия в больших объемах (до 30 см³) и регистрации ЯМР-спектров спин-поляризованных ядер ³He. Подробно исследованы особенности распространения широкополосного поляризующего лазерного излучения через пары Rb.

1. Оптическая накачка лазерным излучением

Рассмотрим распространение циркулярно поляризованного излучения накачки со спектральной плотностью $I(\omega)$ через кювету длиной L , содержащую пары Rb (естественная смесь ⁸⁵Rb и ⁸⁷Rb) при температуре T , а также ³He при высоком давлении. Система магнитных подуровней Rb, соответствующая резонансной линии излучения $D1$, изображена на рис.1. На нем относительные населенности обозначены как n_0 (светопоглощающий подуровень), n_1 (накачиваемый подуровень) и n_2 , n_3 (верхние подуровни); $n_0 + n_1 + n_2 + n_3 = 1$; W_{opt} – вероятность поглощения фотона накачки (в единицу времени); A – вероятность релаксации возбуждения, включающая в себя вероятность излучательного распада Γ_{rad} ; W^* и W – вероятности столкновительного перемешивания верхних и нижних магнитных подуровней. Вероятность релаксации спина при столкновениях рубидий–рубидий, входящая как слагаемое в W , обозначена W_2 . В условиях эксперимента верхние магнитные подуровни практически не заселены ($n_2 + n_3 \ll 1$), и благодаря большой вероятности перемешивания W^* с высокой степенью точности справедливо равенство $n_2 = n_3 = (1/2)n^*$, где n^* – населенность верхнего уровня. Практически такую схему следует рассматривать как трехуровневую.

Далее для вероятностей всех процессов, затрагивающих верхний уровень, подразумевается суммирование по верхним магнитным подуровням. В установившемся режиме

$$W_{\text{opt}}n_0 = An^*, \quad (1)$$

а вероятность поглощения выражается через спектральную плотность лазерного излучения:

$$W_{\text{opt}} = \int I(\omega)\sigma(\omega)d\omega. \quad (2)$$

Сечение поглощения $\sigma(\omega)$ имеет лоренцевский контур:

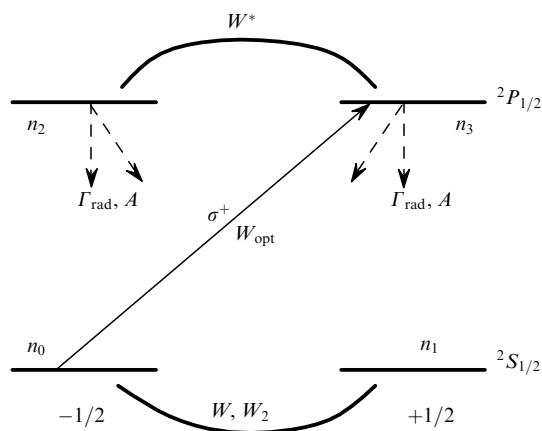


Рис.1. Уровни Rb, участвующие в оптической накачке.

$$\sigma(\omega) = \frac{\sigma_0}{1 + 4(\omega - \omega_0)^2/\Gamma^2}, \quad (3)$$

где Γ – ширина резонансной линии; ω_0 – резонансная частота перехода; σ_0 – сечение поглощения в максимуме. При высоких давлениях ³He ударное уширение линии $D1$ (константа ударного уширения в ³He при нормальных условиях составляет 18 ГГц/атм) заметно превалирует над естественной шириной (6 МГц) и доплеровским уширением при $T = 473$ К (250 МГц). Сечение поглощения в максимуме $\sigma_0 = 4.24 \cdot 10^{-13}$ см² для давления гелия 760 Тор и убывает обратно пропорционально давлению гелия.

В установившемся режиме для населенности поглащающего подуровня имеем

$$-W_{\text{opt}}n_0 + \frac{1}{2}An^* - R(n_0 - n_1) = 0, \quad (4)$$

где R – суммарная вероятность всех процессов, приводящих к перемешиванию нижних магнитных подуровней, включая передачу поляризации электронного спина ядра гелия. В уравнении не учитываются такие процессы, как пленение излучения и релаксация при столкновениях поляризованных атомов рубидия с возбужденными атомами рубидия. Заметим, что релаксация электронной поляризации при столкновениях Rb–Rb приводит к квадратичному по концентрации [Rb] вкладу в (4), однако благодаря соотношению $n_0 + n_1 \approx 1$ нелинейность устраняется. Из (1) и (4) получаем населенность поглащающего подуровня

$$n_0 = \frac{1}{2 + W_{\text{opt}}/2R} \quad (5)$$

и степень поляризации атомов рубидия в основном состоянии

$$P_{\text{Rb}} = \frac{W_{\text{opt}}/2R}{2 + W_{\text{opt}}/2R} = \frac{W_{\text{opt}}}{4R + W_{\text{opt}}}. \quad (6)$$

В выражении для P_{Rb} только R явно зависит от A . При излучательном переходе с верхнего на нижний уровень образуются фотоны с поляризацией, отличной от поляризации излучения накачки, что в свою очередь приводит к дополнительному механизму деполяризации Rb. Для предотвращения пленения излучения в кювету добавлен азот при давлении около 100 Тор. Сечение тушения перехода Rb $6P_{1/2} - 5S_{1/2}$ азотом составляет $5.8 \cdot 10^{-15}$ см², и для указанных условий тушение приводит к вкладу в ширину линии ~ 75 МГц, что более чем в 10 раз превышает радиационную ширину.

Число поглощенных атомами рубидия фотонов в единицу времени равно $W_{\text{opt}}n_0$, а число переизлученных за то же время фотонов – $W_{\text{opt}}n_0\Gamma_{\text{rad}}/A$, что в Γ_{rad}/A раз меньше. Часть переизлученных фотонов может поглощаться поляризованными атомами, тем самым приводя к деполяризации атомов Rb. При указанной концентрации тушащей примеси этим каналом релаксации атомной поляризации можно пренебречь. Спин-обменные столкновения поляризованных атомов рубидия в основном состоянии с деполяризованными возбужденными атомами могут служить еще одним механизмом релаксации спина. Однако наличие тушащей примеси приводит к уменьшению населенности возбужденных подуровней (1), что в свою очередь уменьшает вероятность указанного процесса. Малая примесь N₂ несущественно

влияет на ширину линии Γ , константа уширения линии D1 Rb составляет 14 ГГц/атм.

Введем координату x вдоль направления распространения излучения, отсчитываемую от входного окна кюветы. Рассмотрим зависимость степени поляризации рубидия от x . При этом будем пренебречь диффузией как в объеме кюветы, так в пристеночном слое в окрестности «входного» окна ($x = 0$). Принимая в расчет поглощение света, описываемое выражением

$$\frac{dI(\omega, x)}{dx} = -I(\omega, x)\sigma(\omega)n_0(x)[\text{Rb}], \quad (7)$$

и выражения (2), (5), получаем замкнутую систему уравнений. Эта система уравнений решалась численно для кюветы длиной L . В расчете контролировались следующие параметры: спектральная плотность прошедшего излучения $I_{\text{out}}(\omega) = I(\omega, L)$, распределение степени поляризации рубидия по длине кюветы $P_{\text{Rb}}(x)$ и средняя степень поляризации \bar{P}_{Rb} , определяемая формулой

$$\bar{P}_{\text{Rb}} = \frac{1}{L} \int_0^L P_{\text{Rb}}(x)dx. \quad (8)$$

Установлено, что среднюю степень поляризации с высокой степенью точности можно получить, зная спектральные распределения интенсивностей падающего и прошедшего света:

$$I_{\text{out}}(\omega) = I(\omega, 0) \exp \left\{ -\sigma(\omega) \frac{1 - \bar{P}_{\text{Rb}}}{2} [\text{Rb}]L \right\}. \quad (9)$$

2. Экспериментальная установка

На рис.2 изображена оптическая схема эксперимента по созданию и регистрации электронной поляризации в Rb. Лазерная диодная система Opto Power Corporation OPC-A105-795-FCPS (в дальнейшем просто лазер) представляет собой блок из 23-х лазерных диодов, каждый из которых сопряжен с оптическим волокном. В рабочем режиме лазер излучает непрерывное излучение мощностью 15 Вт через торец световода $\varnothing 1.55$ мм. Диаграмма направленности излучения имеет ширину 12° (по уровню $1/e^2$). Зависимость спектральных характеристик лазера от тока и температуры диодов подробно исследована с помощью 1.6-метрового спектрографа (разрешение 0.05

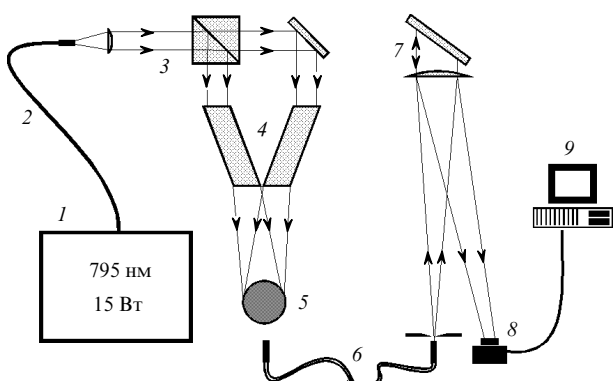


Рис.2. Оптическая схема эксперимента:

1 – диодный лазер; 2 – лазерный световод с расширителем пучка; 3 – поляризационный кубик; 4 – ромбы Френеля; 5 – накачиваемая кювета; 6 – регистрирующий световод; 7 – спектрограф; 8 – видеокамера; 9 – компьютер.

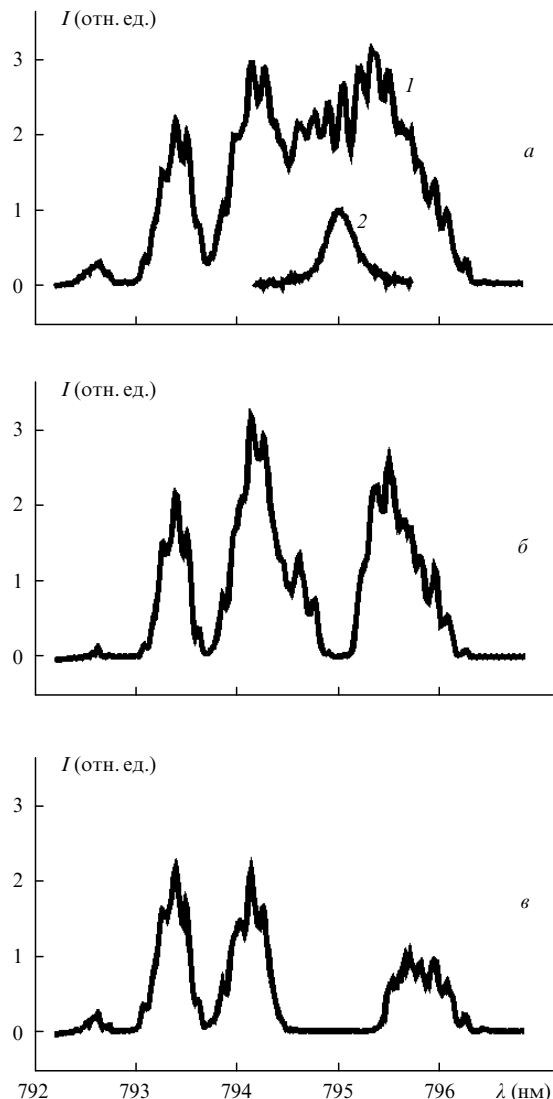


Рис.3. Спектры излучения лазера (1) и линии поглощения Rb (в линейной области, 2)(a), а также излучения, прошедшего через кювету с Rb при включенном (б) и выключенном (в) магнитном поле B_0 .

нм) с третьдюймовой ПЗС-видеокамерой MTV-361CM. Вблизи рабочей точки (795 нм) центр лазерного спектра сдвигается при изменении тока и температуры на 0.33 нм/А и 0.28 нм/К соответственно, причем 80 % лазерной мощности приходится на полосу шириной 2.4 нм вблизи линии поглощения Rb (характерный вид лазерного спектра представлен на рис.3).

Лазерный пучок расширяется с помощью линзы и делится поляризационным кубиком на два линейно поляризованных пучка, циркулярная поляризация в которых создается ромбами Френеля. Пучки сводятся на кювете (угол между центрами пучков менее 4°), где они имеют диаметр 2–4 см (в зависимости от юстировки). Прошедшее через центральную часть кюветы излучение по световоду заводится в спектрометр, с помощью которого регистрируется спектр пропускания кюветы в спектральном диапазоне 792.7–797.3 нм.

Эксперименты проводились с тремя сферическими кюветами из алюминиосиликатного стекла (Corning 1720) диаметрами 1.5, 4 и 3 см, заполненными ${}^3\text{He}$ под давлением 1, 8 и 13 атм соответственно. Давление гелия в кюветах диаметрами 3 и 4 см контролировалось по ширине резонансной линии рубидия Γ , определяемой по спект-

рам поглощения вблизи нее. Стабилизирующее магнитное поле $B_0 = 20$ Гс, направленное вдоль лазерного пучка накачки, создавалось при помощи колец Гельгольца $\varnothing 1.5$ м. При выключении B_0 оставалось перпендикулярное оси лазерного пучка лабораторное магнитное поле $B_{lab} = 0.38$ Гс, приводящее к прецессии электронных спинов и разрушению поляризации.

Кюветы нагревались горячим воздухом до температур 150–200°C, что соответствует концентрации Rb от 10^{14} до 10^{15} см $^{-3}$. Связь между концентрацией паров Rb и температурой T описывается полуэмпирической формулой (формула Киллиана):

$$[Rb] = \frac{1}{T} 10^{26.41 - 4132/T}, \quad (10)$$

где абсолютная температура T берется в кельвинах [10], а $[Rb]$ – в см $^{-3}$. Концентрация Rb определялась из спектров поглощения при выключенном B_0 . Поскольку ширина линии Γ известна, мы можем определить коэффициент поглощения в максимуме подгонкой спектра (9) к экспериментально зарегистрированному спектру. Характерная погрешность измерения составляет 15%, увеличиваясь до 25% в случае высоких температур, когда поглощается более 85% падающего излучения. При включении B_0 рубидий поляризуется, что приводит к уменьшению числа поглотителей и просветлению (рис.3). Зная отношение коэффициентов поглощения в максимуме при включенном и выключенном B_0 , можно вычислить усредненную по длине электронную поляризацию \bar{P}_{Rb} .

На рис.4 представлены экспериментальные и теоретические зависимости \bar{P}_{Rb} от $[Rb]$ для кювет диаметром 1.5 и 4 см при плотности мощности падающего излучения 1 и 0.5 Вт/см 2 . Картина для кюветы диаметром 3 см в целом такая же, как для кюветы диаметром 4 см, и на рис.4 не показана. Отметим, что для нее \bar{P}_{Rb} несколько превышает \bar{P}_{Rb} для кюветы диаметром 4 см при тех же концентрациях Rb и достигает 0.8 для $[Rb] = 6 \cdot 10^{14}$ см $^{-3}$.

Для кювет диаметром 3 и 4 см (высокого давления) средняя поляризация в большом объеме (до 30 см 3) остается равной 0.8 вплоть до концентрации Rb $6 \cdot 10^{14}$ см $^{-3}$, достаточной для эффективной передачи поляризации газу ${}^3\text{He}$. При этом для создания поляризации используется около 90% мощности лазера с шириной спектра ~ 3 нм (что соответствует $\sim 6\Gamma$ для кюветы диаметром 4 см и $\sim 10\Gamma$ для кюветы диаметром 3 см).

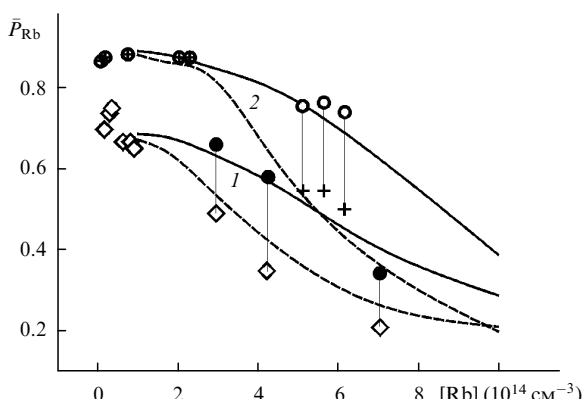


Рис.4. Экспериментальные и расчетные зависимости P_{Rb} от $[Rb]$ для кювет диаметром 1.5 (1) и 4 см (2) при интенсивности 1 (сплошные кривые) и 0.5 Вт/см 2 (штриховые кривые). Вертикальными линиями соединены экспериментальные точки, соответствующие одинаковой температуре и разной интенсивности.

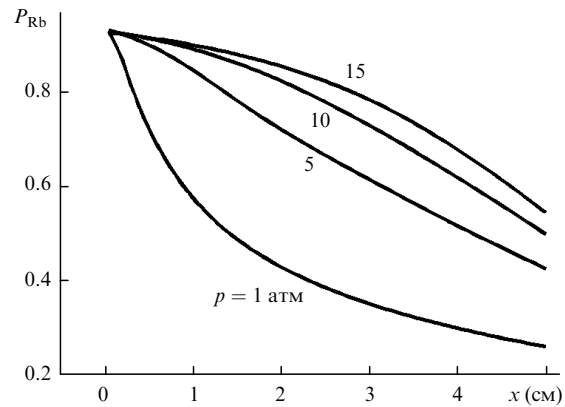


Рис.5. Расчетные зависимости P_{Rb} от x для различных давлений ${}^3\text{He}$ при лазерной интенсивности 1 Вт/см 2 и концентрации Rb $6 \cdot 10^{14}$ см $^{-3}$.

Поляризация в сферической кювете диаметром 1.5 см (давление гелия 1 атм) быстро падает с ростом концентрации Rb, что объясняется узостью линии поглощения и, соответственно, малой долей поглощенного света. Для кювет с низким давлением это можно скомпенсировать увеличением интенсивности лазерного излучения и увеличением длины кюветы, поскольку ширина спектра поглощения $\Delta\omega_{1/2} \sim ([{}^3\text{He}]L)^{1/2}$. Однако сферические кюветы в проводимых исследованиях предпочтительнее, во-первых, ввиду их технологичности и, во вторых, из-за легкости заполнения объема лазерным излучением без образования «темных» неполяризованных областей. Недостатком их является некоторая деполяризация периферийной части пучка, проходящего внутрь кюветы.

Для увеличения поглощения нейтронного пучка и доли светового потока, затрачиваемой на поляризацию ядер, необходимы высокие давления ${}^3\text{He}$. На рис.5 представлено расчетное распределение поляризации в кювете длиной 5 см при плотности мощности падающего излучения 1 Вт/см 2 ($\varnothing 3$ см) для концентрации Rb $6 \cdot 10^{14}$ см $^{-3}$ при различных давлениях гелия. Видно, что увеличение давления гелия приводит к росту средней поляризации \bar{P}_{Rb} . При больших давлениях гелия имеется ряд конкурирующих процессов [11], которые ограничивают рост \bar{P}_{Rb} : частичное перекрытие резонансных линий $D1$ и $D2$ вследствие уширения, релаксация поляризации за счет спин-обменного и спин-орбитального взаимодействия с ${}^3\text{He}$ и трехчастичные столкновения Rb–He–He. При концентрации Rb $6 \cdot 10^{14}$ см $^{-3}$ скорость релаксации поляризации Rb из-за трехчастичных столкновений становится равной скорости деполяризации из-за столкновений Rb–Rb при давлениях гелия ~ 10 атм [12]. Таким образом, с точки зрения практических приложений поляризованного ${}^3\text{He}$ нецелесообразно использовать давления гелия более 15–20 атм.

3. Результаты

На рис.6 изображена схема установки для регистрации ядерной поляризации P_{He} в ${}^3\text{He}$. Относительные измерения P_{He} проводились по спектрам ЯМР, регистрируемым методом быстрого адиабатического прохождения. Кювета помещалась в однородное постоянное магнитное поле $B_0 = 22$ Гс, создаваемое системой колец Гельмгольца $\varnothing 1.5$ м. Поле имеет неоднородность примерно $5 \cdot 10^{-4}$ в центральной области диаметром 5 см и длиной 20 см, временная нестабильность также состав-

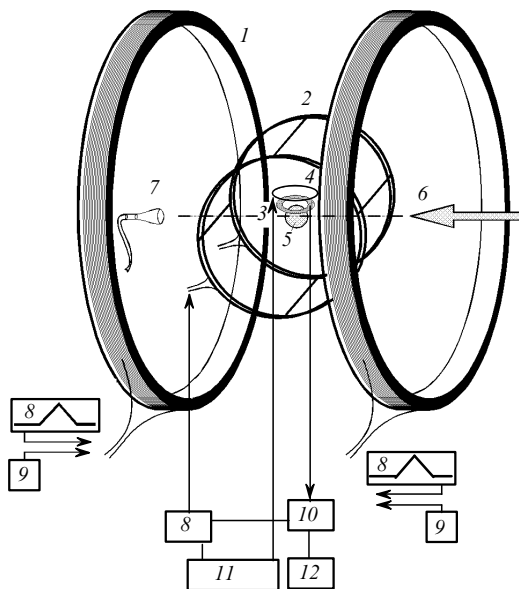


Рис.6. Схема установки для регистрации ЯМР-спектров методом быстрого адиабатического прохождения:
1 – система Гельмгольца для создания стабилизирующего поля B_0 ($\varnothing 1.5$ м); 2 – система Гельмгольца для создания радиочастотного поля B_1 ($\varnothing 0.7$ м); 3 – сенсорная катушка; 4 – компенсационная катушка; 5 – исследуемый образец; 6 – направление лазерного пучка; 7 – торец регистрирующего световода; 8 – генератор; 9 – блок питания; 10 – синхронный детектор; 11 – блок амплитудно-фазовой регулировки; 12 – цифровой осциллограф.

ляет $5 \cdot 10^{-4}$. Высокая однородность поля необходима для обеспечения большого времени жизни ядерной поляризации.

Радиочастотное поле B_1 (ортогональное B_2) на частоте 78 кГц создается системой колец Гельмгольца $\varnothing 0.7$ м. На стабилизирующее поле B_0 накладывается пилообразный импульс поля с амплитудой 3 Гс, так, чтобы для ядерных спинов выполнялось условие резонанса (гиромагнитное отношение $\gamma_{^3\text{He}} = 3.24$ кГц/Гс). Амплитуда B_1 и длительность импульса подбирались таким образом, чтобы выполнялись условия быстрого адиабатического прохождения [13]. Вблизи исследуемого объема располагались сенсорная (настроенная на резонанс) и компенсационная катушки, оси которых были ортогональны векторам B_0 и B_1 . Наведенный на сенсорной катушке сигнал посыпался на синхродетектор и регистрировался цифровым осциллографом Tektronix THS730A. Чувствитель-

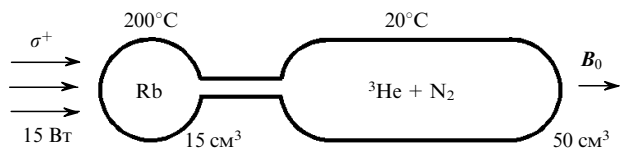


Рис.8. Схема двухкамерной кюветы.

ность системы составляла $\sim 5 \cdot 10^4$ В/Гс, шумы определялись радиочастотными помехами и вибрацией и были эквивалентны сигналу 100 мВ. Характерный ЯМР-спектр представлен на рис.7. Абсолютная величина P_{He} оценивалась из расчетов геометрического фактора (коэффициента заполнения сенсорных катушек).

Спектры ЯМР использовались для оценки P_{He} и измерения времени жизни поляризации. Для кюветы диаметром 1.5 см время жизни поляризации достигает нескольких часов, $P_{\text{He}} \sim 40\%$. В условиях кюветы диаметром 4 см наша система позволяет получать около 10^{18} поляризованных атомов ${}^3\text{He}$ в секунду, т. е. поляризация одного ядерного спина достигается при поглощении около 60 фотонов. Такая скорость поляризации достаточна для создания высокой поляризации P_{He} в объеме порядка 100 см³, разделенном на «горячую», накачиваемую часть, и «холодную», свободную от паров Rb часть, предназначенную для накопления ядерной поляризации.

Экспериментально подтверждено (на кювете диаметром 3 см), что в такой системе можно поддерживать высокую разность температур (150–200 К), такую, что концентрация Rb в «холодной» части ничтожно мала, но при этом практически весь Rb остается в «горячей» части. Внешний вид такой кюветы представлен на рис.8. Для получения высокой P_{He} в кювете требуются времена релаксации свыше 10 ч, достижимые при высокой химической чистоте ${}^3\text{He}$ (содержание парамагнитных примесей не более 10^{-6}) и при специальной обработке стенок кюветы из алюминосиликатного стекла.

Заключение

В рамках проекта КаTRIn по проверке Т-инвариантности в экспериментах с поляризованным ${}^{131}\text{Xe}$ создана экспериментальная установка для получения и исследования поляризованного ${}^3\text{He}$. Ядра ${}^3\text{He}$ поляризуются при столкновении с поляризованными атомами Rb. Электронная поляризация паров Rb осуществляется оптической накачкой циркулярно поляризованным излучением 15-ваттной диодной лазерной системы, имеющей ширину спектра излучения 3 нм. Показано, что эффективность использования широкополосного излучения данной системы для сферических кювет растет с увеличением давления буферного газа и достигает 90 % при давлении гелия 10 атм.

Разработан спектроскопический метод определения средней поляризации плотных паров Rb по спектрам поглощения излучения накачки. В объеме 30 см³ получена 70–80 %-ная электронная поляризация Rb при его концентрации $6 \cdot 10^{14} \text{ см}^{-3}$. Предложена модель распространения мощного поляризующего излучения накачки через оптически-плотную среду. По ЯМР-спектрам зарегистрирован сигнал от поляризованных ядер ${}^3\text{He}$, определено характерное время нарастания и распада поляризации для различных кювет. Согласно оценкам скорости нара-

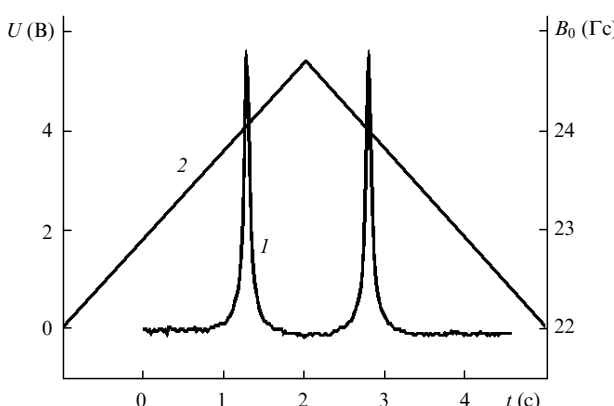


Рис.7. Характерная ЯМР-осциллограмма (1) и пилообразный профиль (2) магнитного поля B_0 , служащего для развертки спектра.

стания ядерной поляризации, наша лазерная система позволяет поляризовать не менее 10^{18} ядер в секунду, что достаточно для создания поляризатора тепловых нейтронов.

Авторы выражают признательность С.И.Канорскому за конструктивные рекомендации. Работа выполнена при поддержке РФФИ (грант № 96-15-96438), Университета штата Аризона и Министерства обороны США, а также УНЦ «Фундаментальная оптика и спектроскопия» в рамках программы «Интеграция».

1. Happer W. *Rev.Mod.Phys.*, **44**, 169 (1972).
2. Johnson J.R., Thompson A.K. Chupp T.E. et al. *Nucl.Instr.Meth.A*, **356**, 148 (1995).
3. Rutherford G.H. et al. *Rev.Sci.Instr.*, **61**, 1460 (1990).
4. Ebert M., Grossmann T., Heil W., Otton W.E. et al. *Lancet*, **347**, 1297 (1996).
5. Scov V.R., Procofichev Yu.V., Kolachevsky N.N., Sorokin V.N. *Nucl.Instr.Meth.A*, **402**, 322 (1997).
6. Eckert G., Heil W., Meyerhoff M. et al. *Nucl.Instr.Meth.A*, **320**, 53 (1992).
7. Chupp T.E., Wagshul M.E., Coutler K.P. et al. *Phys.Rev.C*, **36**, 2244 (1987).

8. Лалоэ Ф., Ледюк М., Наше П.-Ж. и др. *УФН*, **147**, 433 (1985).
9. Cates G.D., Fitzgerald R.J., Barton A.S. et al. *Phys.Rev.A*, **45**, 4631 (1992).
10. Killian T.J. *Phys Rev.*, **27**, 578 (1926).
11. Папченко А.А., Собельман И.И., Юков Е.А. *Препринт ФИАН № 124* (М., 1989).
12. Larson B., Haussler O., Delheij P.P.J. et al. *Phys.Rev.A*, **44**, 3108 (1991).
13. Wagshul M.E., Chupp T.E. *Phys.Rev.A*, **49**, 3854 (1994).

N.N.Kolachevskii, A.A.Papchenko, Yu.V.Prokof'ichev, V.R.Skoi, I.I. Sobel'man, V.N.Sorokin. Broadband laser optical pump of Rb for the production of nuclear polarisation in ${}^3\text{He}$.

Optical pump of a large volume (30 cm^3) of dense (up to 10^{15} cm^{-3}) Rb vapour was accomplished employing a high-power laser diode array. The propagation of high-power broadband radiation of the optical pump through an optically dense medium was considered. A spectroscopic technique was elaborated for determining the polarisation of Rb. The polarisation of Rb as a function of its vapour pressure was studied at pressures of the buffer gas of 1, 8, and 13 bar. Under optimum conditions, a 15-W laser diode array makes it possible to polarise no less than $10^{18} {}^3\text{He}$ atoms per second via Rb – ${}^3\text{He}$ atomic collisions, which is sufficient for implementing an efficient neutron polariser.